

برآورد مشخصات پرش هیدرولیکی واگرا با استفاده از شبکه عصبی مصنوعی

مهدی اسماعیلی ورکی^۱، محمود امید^۲ و محمدحسین امید^۳

^۱دانشجوی دکتری تأسیسات آبیاری گروه مهندسی آبیاری و آبادانی، آستادیار گروه مهندسی مکانیک ماشین‌های کشاورزی دانشگاه تهران، آستادیار گروه مهندسی آبیاری و آبادانی دانشگاه تهران

تاریخ دریافت: ۱۳/۰۳/۸۲؛ تاریخ پذیرش: ۲۲/۱۲/۸۳

چکیده

در این تحقیق یک رهیافت شبکه عصبی مصنوعی (ANN) با ساختار پرسپترون چند لایه برای مدل کردن عمق ثانویه و طول پرش هیدرولیکی واگرا در مقاطع ذوزنقه‌ای و مستطیلی که از حالت‌های خاص و پیچیده پرش هیدرولیکی می‌باشند، بکار گرفته شده است. تعداد ۳۰۰۰ داده تئوری و آزمایشگاهی عمق ثانویه و طول پرش مستقیم و واگرا مربوط به مقاطع مستطیلی و ذوزنقه‌ای، برای گستره وسیعی از شبکه‌های جانی و زوایای واگرایی مورد استفاده قرار گرفت. در توسعه مدل ANN، هفده ساختار پرسپترون چندلایه، با تعداد لایه‌های پنهان و نرون‌های مختلف، مورد ارزیابی قرار گرفتند. در هر مورد، ساختاری که بالاترین مقدار R^2 را تولید می‌کرد به عنوان مدل بهینه گزینش گردید. برای مقاطع مستطیلی مستقیم و واگرا، مناسب‌ترین مدل ANN برای عمق ثانویه به ترتیب ساختارهای ۱-۱-۱ و ۱-۴-۱ و ۹ نرون در هر لایه پنهان و R^2 به ترتیب برابر با ۰/۹۷ و ۰/۹۱ به دست آمد. مناسب‌ترین مدل ANN برای طول پرش نیز به ترتیب ساختارهای ۱-۱-۴ و ۱-۳-۲ و ۱-۱-۴ و ۱-۱-۳ نرون در هر لایه پنهان و R^2 به ترتیب برابر با ۰/۹۸ و ۰/۸۹ بود. برای مقاطع ذوزنقه‌ای مستقیم و واگرا، مناسب‌ترین مدل ANN برای عمق ثانویه به ترتیب ساختارهای ۱-۲-۱ و ۱-۵-۲ و ۹ نرون در هر لایه پنهان و R^2 به ترتیب برابر با ۰/۹۹ و ۰/۹۴ بود. مقادیر بالای به دست آمده برای R^2 در هر ۸ مورد، بیانگر همبستگی نزدیک بین مقادیر خروجی مدل ANN و داده‌های تئوری و آزمایشگاهی می‌باشد.

واژه‌های کلیدی: پرش هیدرولیکی، پرش هیدرولیکی واگرا، حوضچه آرامش، شبکه عصبی مصنوعی

فوقبحانی به زیربحانی، انرژی جریان مستهلك می‌شود. در طراحی حوضچه‌های آرامش، عمق ثانویه و طول پرش هیدرولیکی، پارامترهای مهمی می‌باشند که با استفاده از آنها می‌توان رقوم کف، عمق و طول حوضچه را طراحی کرد. در مورد پرش هیدرولیکی معمولی در مقاطع

مقدمه

یکی از متداول‌ترین سازه‌های مستهلك‌کننده انرژی در انتهای سازه‌هایی نظیر سرربزها، تندآبهای و دریجه‌ها، حوضچه‌های آرامش با پرش هیدرولیکی می‌باشند. در این حوضچه‌ها، با تشکیل پرش هیدرولیکی و عبور جریان از



شرایط، می‌تواند کمک مؤثری برای طراحی اینگونه حوضجه‌های آرامش باشد.

شبکه‌های عصبی مصنوعی^۱ (ANNs) که برگرفته از شبکه‌های عصبی بیولوژیکی می‌باشند، می‌توانند در حل مسائلی نظری مسئله فوق کمک نمایند. این شبکه‌ها که از سیستم‌های هوشمند به حساب می‌آیند، اکنون با ساختارهای متنوع و وسیع، در بسیاری از علوم از جمله هیدرولیک گسترش یافته‌اند که به عنوان نمونه میتوان به موارد زیر اشاره کرد.

شاپا و سبلانی (۱۹۹۸)، با بکارگیری یک مدل ANN با ساختار پرسپترون چند لایه، عملکرد آن را در پیشگویی ضریب زیری لوله برای آرایش‌های مختلف در لایه میانی بررسی کردند. جین (۲۰۰۱)، با بکارگیری یک مدل ANN با ساختار پرسپترون چند لایه، عملکرد مدل را در پیشگویی دبی رسوب رودخانه می‌سی‌پی بررسی کرد. بارانی و همکاران (۱۳۸۱)، با بکارگیری مدل ANN با ساختار پرسپترون چند لایه، توانایی مدل را در پیشگویی دبی اوج هلیل رود بررسی نمودند.

در تحقیق حاضر، امکان استفاده از سیستم هوشمند شبکه عصبی (ANNs) در برآورد مشخصات پرش هیدرولیکی و اگرا مورد بررسی قرار گرفته است.

شبکه عصبی مصنوعی با ساختار پرسپترون چند لایه: شبکه عصبی مصنوعی (ANN) را می‌توان به عنوان یک مدل ریاضی که توانایی مدل‌سازی و ایجاد روابط ریاضی غیرخطی را برای درونیابی دارد، معرفی کرد. از زمانی که اولین مدل شبکه عصبی مصنوعی توسط کولاج و پیتس (۱۹۴۳) ارائه شد (البرزی، ۱۳۸۰)، تاکنون مدل‌های زیادی با ساختارهای مختلف پیشنهاد گردیده که بطور وسیعی در حوزه‌های مختلف علوم مورد استفاده قرار می‌گیرند. در این تحقیق از یک مدل شبکه عصبی مصنوعی با ساختار پرسپترون^۲ چند لایه استفاده گردیده است. این مدل بطور کلی از سه لایه و هر لایه از تعدادی واحد پردازشگر

مستطیلی، مقدار عمق ثانویه با روابط ثوری حاصل از قوانین پیوستگی و مومنتوم قبل محاسبه بوده و طول پوش نیز با معادلات حاصل از نتایج تجربی برآورده می‌گردد. لیکن پیش‌بینی مشخصات پرش هیدرولیکی در مقاطع غیرمستطیلی و بخصوص در حوضجه‌های واگرا، بدليل پیچیدگی تنها با فرضیات ساده‌کننده امکان‌پذیر می‌باشد. از سال ۱۸۲۰ که پرش هیدرولیکی توسط بیدون مورد بررسی قرار گرفت (ایریشمی، ۱۳۷۷)، تاکنون تحقیقات زیادی در خصوص پرش در وضعیت‌های مختلف صورت گرفته است. در اینجا تنها به تعدادی از آنها که در مورد پرش‌های هیدرولیکی واگرا می‌باشد، اشاره می‌گردد.

کلوسیوس و احمد (۱۹۶۱)، با فرض تغییرات خطی بین عمق اولیه و ثانویه پرش و بکارگیری اصول پیوستگی، انرژی و مومنتوم، روابطی برای نسبت عمق ثانویه و افت نسبی انرژی ارائه کردند. اریبه‌هیراما و ابلا (۱۹۷۱)، خصوصیات پرش هیدرولیکی در کanal مستطیلی واگرا را بررسی و با فرض شکل ربع بیضی برای نیمرخ پرش روابطی برای نسبت عمق ثانویه و افت نسبی انرژی ارائه کردند. خلیفه و مک کروکودال (۱۹۷۹)، خصوصیات پرش هیدرولیکی شعاعی را بررسی کردند. این محققین با شعاعی در نظر گرفتن خطوط جریان و نسبت دادن یک معادله درجه دوم برای نیمرخ سطح آب، روابطی برای نسبت عمق ثانویه و افت نسبی انرژی در کanal مستطیلی واگرا ارائه کردند.

صرفنظر از فرضیات صورت گرفته در هر یک از تحقیقات فوق، نتایج هم، آنها منجر به ارائه روابط پیچیده‌ای برای محاسبه نسبت عمق ثانویه گردیده که بدليل وجود طول پرش در معادلات، هیچیک از حل دقیق برخوردار نمی‌باشند. برآورد خصوصیات پرش هیدرولیکی واگرا در مقاطع ذوزنقه‌ای حتی از پیچیدگی بیشتری برخوردار بوده و تاکنون نیز مطالعات کافی در مورد آنها صورت نگرفته است. لذا توسعه مدل‌های ساده و در عین حال دقیق برای حل مسائل پرش هیدرولیکی در این گونه

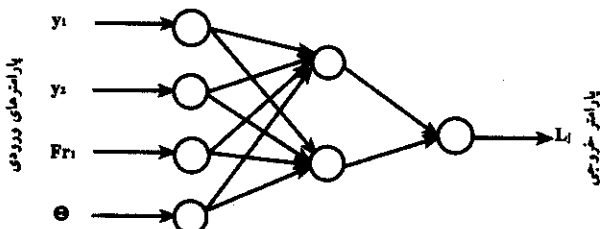


بطور معمول نرون‌های هر لایه به کلیه نرون‌های لایه مجاور از طریق یک رابطه جهت دار مرتبط می‌باشند. اطلاعات بین نرون‌ها از طریق این اتصالات متقل می‌شوند. هر یک از این اتصالات دارای مشخصه‌ای (وزن) مختص به خود هستند که در اطلاعات انتقال یافته از یک نرون به نرون دیگر ضرب می‌گردد. هر نرون، خروجی‌های وزن شده (W_{ij}) را از نرون‌های لایه قبلی دریافت و مجموع آنها، ورودی نرون (Net_j) را تولید می‌کند (شکل ۲):

$$Net_j = \sum w_{ij}x_i + b_j \quad [1]$$

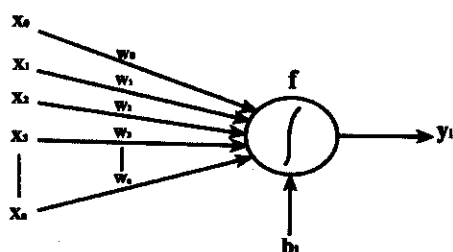
در رابطه فوق w_{ij} بیانگر وزن اتصال بین گره‌های i و j خروجی از گره i و ضریب b_j بایاس^۴ گره j نامیده می‌شود.

بنام نرون^۳ (سلول، واحد و یا گره) تشکیل شده است. اولین لایه هر شبکه را لایه ورودی می‌گویند که در این لایه بردارهای داده‌های ورودی نگاشت مورد نظر قرار می‌گیرد. در این لایه هیچگونه پردازشی انجام نخواهد شد. لایه آخر هر شبکه به لایه خروجی معروف بوده و در آن بردارهای خروجی نگاشت استقرار می‌پابد. همچنین هر پرسپترون از تعدادی لایه میانی که لایه‌های پنهان نامیده می‌شوند، تشکیل شده است. تعداد این لایه‌ها و همچنین تعداد نرون‌ها در هر لایه توسط طراح و طی فرآیند آزمون و خطای پیدا می‌شود. در شکل ۱ نمای کلی یک شبکه عصبی با ساختار پرسپترون چند لایه نشان داده شده است. در این شکل y_1 و y_2 عمق‌های مزدوج پرش، Fr عدد فرود جریان قیل از پرش و θ زاویه واگرایی می‌باشد که به عنوان لایه ورودی به شبکه متقل شده و طول پرش (L_j) پارامتر خروجی می‌باشد.



۲۳

شکل ۱ - نمای کلی از یک شبکه عصبی با ساختار پرسپترون چند لایه برای پیش‌بینی طول پرش هیدرولیکی.



شکل ۲ - جزئیات یک نرون با بردارهای ورودی و خروجی مربوطه.

سرعت یادگیری و دقت در شبکه عصبی مؤثر می‌باشد. در آموزش شبکه‌های عصبی دو روند آموزش الگو به الگو^۸ و آموزش گروهی^۹ پیشنهاد گردیده است. در روش الگو به الگو، به ازای هر بار اعمال الگوی ورودی به شبکه، پارامترهای شبکه در مسیر رفت محاسبه و با محاسبه میزان خطا، مقدار تغییرات پارامترهای شبکه تعیین و در مسیر برگشت پارامترها تصحیح می‌گردند. در آموزش گروهی، به ازای تمام تکرارهای الگوهای ورودی، میزان تغییر پارامترها محاسبه و در پایان مرحله آموزش، پارامترها اصلاح می‌شوند.

مواد و روش‌ها

در این تحقیق از جعبه ابزار Neural Network.^۴

موجود در نرم‌افزار Matlab نسخه ۶.۵ برای پیاده‌سازی شبکه عصبی با ساختار پرسپترون چند لایه استفاده شد.

آماده‌سازی داده‌ها: برای جلوگیری از کوچک شدن بیش از حد وزن‌ها، لازم است داده‌های مورد استفاده برای شبکه‌های عصبی نرمال یا استاندارد شوند. برای این منظور، روش‌های متعددی ارائه گردیده که در این تحقیق از رابطه ϵ برای نرمال‌سازی داده‌ها استفاده شد. با استاندارد (نرمال) کردن داده‌ها با استفاده رابطه ϵ ، کلیه داده‌ها در دامنه ۰ تا ۱ قرار می‌گیرند. در این رابطه، \bar{X}_i داده نرمال شده، x_i داده مورد استفاده و x_{\min} و x_{\max} حداقل و حداکثر داده‌ها در سری مورد نظر می‌باشد.

$$\bar{X}_i = \frac{x_i - x_{\min}}{x_{\max} - x_{\min}} \quad [4]$$

بعد از نرمال‌سازی داده‌ها، مجموعه داده‌ها به سه بخش آموزشی، امتحانی و صحت‌یابی تقسیم گردید. در این تحقیق برای نرمال‌سازی داده‌ها از ۳۰۰۰ داده تشوری حاصل از رابطه ϵ و داده‌های مربوط به آزمایش‌های صورت گرفته بر روی یک مدل آزمایشگاهی برای عمق ثانویه و طول پرش مستقیم و واگرا در مقاطع مستطیلی و ذوزنقه‌ای استفاده گردید.

ترون‌ها برای محاسبه خروجی خود (y_i)، ورودی دریافتی را از یک تابع فعال‌سازی (آستانه) عبور می‌دهد. توابع فعال سازی دارای انواع مختلفی نظیر توابع بایزی، سیگموئیدی، تائزانت هیبروبولیک، خطی و گوسی می‌باشند. متداول‌ترین تابع برای تعریف خروجی (y_i) در این زمینه، تابع سیگموئیدی است که بصورت زیر ارائه می‌گردد.

$$y_j = f(Net_j) = \frac{1}{1 + e^{-(Net_j)}} \quad [2]$$

آموزش شبکه براساس ساختار پرسپترون چند لایه: اساس آموزش شبکه‌های عصبی، تغییر وزن اتصالات شبکه جهت تولید خروجی مطلوب می‌باشد. آموزش این شبکه‌ها را می‌توان به آموزش "با سرپرستی"، که در آن خروجی معنی به هر ورودی نسبت داده می‌شود و آموزش "بدون سرپرستی" که دارای خروجی از قبل نامشخص است، تقسیم نمود. نحوه عمل پرسپترون چند لایه بدین صورت است که ابتدا الگویی به شبکه عرضه شده و سپس خروجی آن محاسبه می‌گردد. با مقایسه خروجی شبکه با خروجی مطلوب، میزان خطا برای اصلاح وزن‌های شبکه (W_{ij}) از طریق رابطه زیر محاسبه و از یک لایه به لایه قبل منتشر می‌گردد.

$$E_p = \frac{1}{2} \sum_j (o_{pj} - y_j)^2 \quad [3]$$

در این رابطه، E_p مقدار خطای الگوی P ، o_{pj} خروجی مطلوب و y_j خروجی واقعی در گره j ام است. انتخاب روش آموزش بر سرعت یادگیری و دقت شبکه مؤثر می‌باشد.

۲۴



ناکنون روش‌های مختلفی برای آموزش شبکه‌های عصبی پیشنهاد گردیده است که از مهمترین آنها می‌توان به الگوریتم پس انتشار خطای بیشترین شبیه (SD)، الگوریتم پس انتشار گرادیان‌های مزدوج (GDM) و الگوریتم پس انتشار مارکوارت - لورنبرگ (LM) اشاره کرد^(۵). علاوه بر روش آموزش، روند آموزش نیز بر

پیوستگی و مومنتوم و نیز اعمال فرضیاتی، رابطه‌های استخراج گردید:

$$\frac{y_2}{y_1} = \left(\frac{\left[Fr_1^2 \frac{D_1}{y_1} \left(1 - \frac{A_1}{A_2} + K_1 \right) \frac{A_1}{A_2 K_2} - \frac{2L_j \left(\frac{y_2^2}{3} + \frac{5y_1^2}{6} - \frac{2y_1 y_2}{3} \right) \sin \theta }{\sin(\cot g^{-1} z) A_2 K_2 y_1} \right]}{0.5} \right)^{0.5}$$

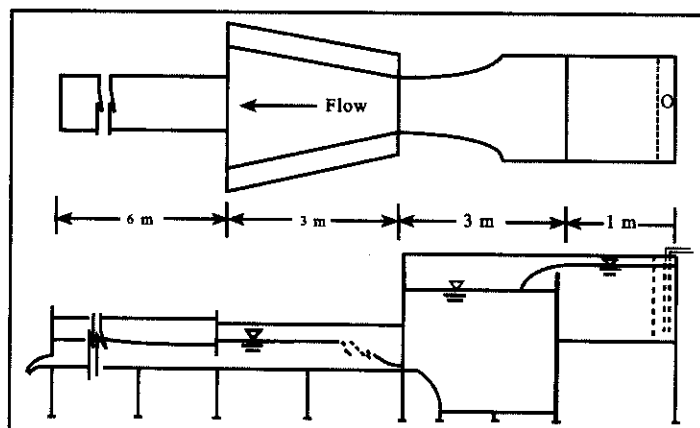
در رابطه فوق، a_1 و a_2 به ترتیب عمق‌های اولیه و ثانویه پرش، Fr_1 عدد فرود اولیه جریان قبل از پرش، A_1 و A_2 سطح مقاطع جریان قبل و بعد از پرش، L_j طول پرش، θ زاویه واگرایی، Z نماینده شیب جانبی، b' و $K_1 = \frac{1}{3} + \frac{b}{6b'}$ عرض کف حوضچه، $b = b + yz$ و $D = \frac{by + y^2 z}{b + 2yz}$ نمایه‌های ۱ و ۲ به ترتیب مربوط به شرایط جریان قبل و بعد از پرش می‌باشد.

انتخاب نوع تابع فعال‌سازی: با توجه به دامنه داده‌های نرمال شبکه که بین ۰ تا ۱ بود، تابع فعال‌سازی لوگ سیگموئید برای تمام نرون‌های لایه‌های پنهان و خروجی انتخاب گردید (شکل ۳).

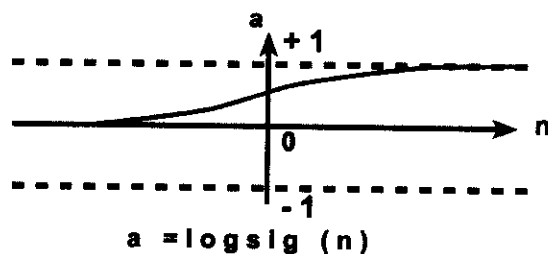
طرح مدل آزمایشگاهی که برای این تحقیق طراحی و ساخته شد، در شکل ۳ نشان داده شده است. مدل شامل یک مخزن آرام‌کننده با سریز مستطیلی لبه تیز و مخزن ایجاد ارتفاع در بالادست، دریچه کشویی لبه تیز، یک کanal مستطیلی به عرض 0.5 متر، دیواره‌های شیشه‌ای به ارتفاع 0.6 متر و طول 9 متر و یک مخزن اندازه‌گیری حجمی در پایین دست می‌باشد. بخشی از کanal به طول 3 متر که بلافاصله بعد از دریچه مخزن قرار دارد، بگونه‌ای ساخته شد که به عنوان حوضچه آرامش، امکان ایجاد همزمان شیب‌های جانبی مختلف و واگرایی با زوایای متفاوت فراهم بود. با استفاده از مخزن بالادست و دریچه کشویی، ایجاد جریان‌های ورودی به حوضچه آرامش با عمق و سرعت‌های مختلف (اعداد فرود اولیه تا 9) امکان‌پذیر بود.

آزمایش‌های انجام شده مربوط مقاطع مستطیلی و ذوزنقه‌ای با شیب‌های جانبی (عمودی: افقی) $1:1$ و $0.5:1$ و زوایای واگرایی 2 ، 5 ، 7 و 9 درجه می‌باشد.

برای محاسبه مقدار تشوری عمق ثانویه در پرش هیدرولیکی و اگرا در مقطع ذوزنقه‌ای، با بکارگیری اصول



شکل ۳- طرح کلی مدل آزمایشگاهی.



شکل ۴- تابع فعال‌سازی لوگ سیگموئید.



گانه آموزش، امتحان و صحت‌یابی بهمنظور پیش‌بینی عمق ثانویه و طول پرسش در مقاطع مستطیلی و ذوزنقه‌ای مستقیم و واگرا، پارامترهای بردارهای ورودی در جدول ۱ آورده شد. در مورد تعداد لایه‌های پنهان و همچنین تعداد نرون‌ها در هر لایه با انتخاب حالت‌های مختلف و بررسی عملکرد شبکه بهترین ساختار انتخاب گردید.

انتخاب الگوی آموزش و روند آموزشی: در این تحقیق الگوریتم LM بهمنظور آموزش و الگوریتم GDM بهمنظور امتحان شبکه انتخاب گردید. همچنین روند آموزش از نوع الگو به الگو بود.

تعیین تعداد نرون‌های لایه‌های شبکه: تعداد نرون‌های لایه‌های ورودی و خروجی برابر با تعداد متغیرهای بردارهای ورودی و خروجی می‌باشد. برای مراحل سه

جدول ۱ - مشخصات پارامترهای ورودی و خروجی مربوط به پیشگویی عمق ثانویه و طول پرسش.

شکل مقطع	پارامتر خروجی	پارامترهای ورودی
مستطیلی مستقیم	Fr ₁	y ₁
	Fr ₁	y ₁ y ₁
ذوزنقه‌ای مستقیم	Fr ₁	y ₁ Z
	Fr ₁	y ₁ y ₁ Z
مستطیلی واگرا	L _j	Fr ₁ y ₁ Θ
	Fr ₁	y ₁ y ₁ Θ
ذوزنقه‌ای واگرا	L _j	Fr ₁ y ₁ Z
	Fr ₁	y ₁ y ₁ Θ Z

حالات‌های فوق، مربوط به آرایش‌های شماره‌های ۹ و ۵ می‌باشد. همچنین براساس R^۱‌های مربوط به طول پرسش در این مقاطع، بهترین عملکرد شبکه مربوط به آرایش‌های شماره‌های ۹ و ۲ است. با انتخاب بهترین آرایش از میان آرایش‌های اعمال شده به شبکه در هر وضعیت، بهمنظور ارزیابی شبکه و صحت‌یابی پیشگویی داده‌هایی که مدل با آن مواجه نگردیده است، عملکرد شبکه با اعمال مجموعه سوم از داده‌های نرمال شده (داده‌های صحت‌یابی)، بررسی گردید. برای درک بهتر از وضعیت عملکرد شبکه، نمودارهای خروجی شبکه برای مجموعه الگوهای امتحانی و صحت‌یابی در مقابل داده‌های تئوری و آزمایشگاهی مربوطه و نیز نمودارهای تغییرات نسبت عمق ثانویه و طول نسبی پرسش برای یکی از زاویایی واگرایی در شکل‌های ۵ تا ۷ نشان داده شده است.

نتایج و بحث

بهمنظور بررسی عملکرد شبکه با آرایش‌های مختلف در لایه‌های پنهان، از فاکتور R^۱ (ضریب تبیین) استفاده گردید. نظر به اینکه برای آموزش شبکه، روند الگو به الگو انتخاب شد، در هر آرایش لایه میانی، با اعمال تعداد الگوهای مختلف (تکرارهای مختلف)، بهترین مقدار R^۱ انتخاب و برای آن آرایش در نظر گرفته شد. نتایج عملکرد شبکه برای پیشگویی عمق ثانویه و طول پرسش برای مقاطع مستطیلی و ذوزنقه‌ای مستقیم و واگرا در جدول‌های ۲ و ۳ آورده شده است.

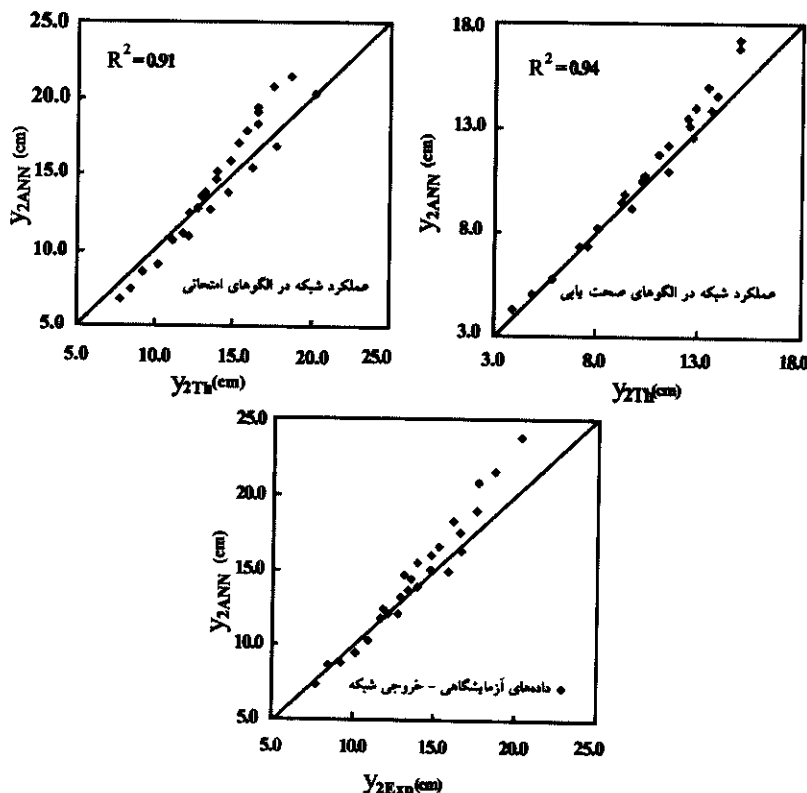
الف) عملکرد شبکه برای پیشگویی عمق ثانویه و طول پرسش مستقیم و واگرا در مقطع مستطیلی: همانگونه که از R^۱‌های مربوط به عمق‌های ثانویه پرسش هیدرولیکی در جدول ۲ مشاهده می‌گردد، بهترین عملکرد شبکه برای



جدول ۲ - عملکرد شبکه در پیشگویی عمق ثانویه و طول پرش در مقاطع مستطیلی مستقیم و واگرا.

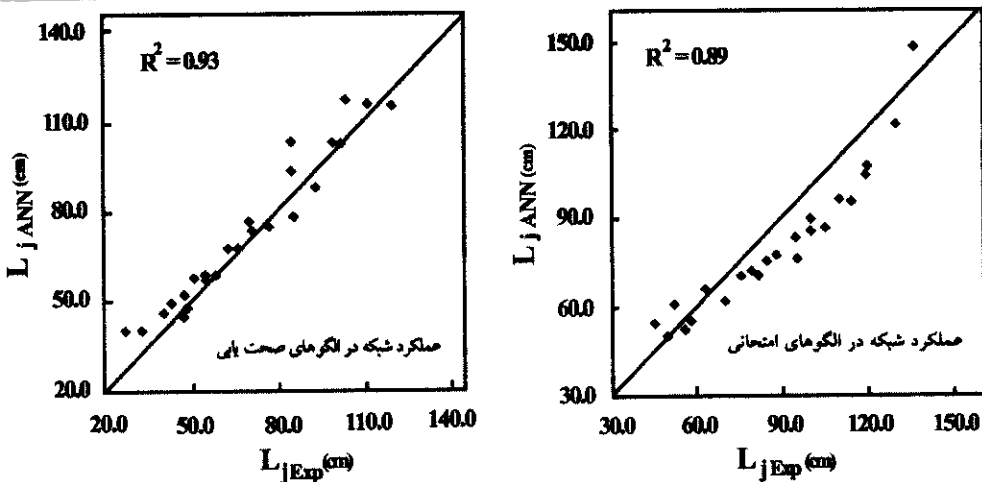
R ^t	قطعه مستطیلی واگرا		قطعه مستطیلی مستقیم		آربیش لایه پنهان شبکه		تعداد نمونه	تعداد لایه	آربیش لایه پنهان شبکه	شماره
	طول جهش	عمق ثانویه	طول جهش	عمق ثانویه	طول جهش	عمق ثانویه				
۰/۷۹	۰/۰۸	۰/۰۸۸	۰/۰۶۳	۰/۰۹۷	۰/۰۶۳	۰/۰۴۳	۰/۰۱۳	۱	۱	۱
۰/۸۹	۰/۰۰۳	۰/۹	۰/۰۰۶	۰/۰۹۴	۰/۰۱۸۰	۰/۰۹۰	۰/۰۶۷	۳	۱	۲
۰/۸۹	۰/۰۰۷۴	۰/۰۱۴	۰/۰۰۹۶	۰/۰۹۶	۰/۰۰۸۶	۰/۰۹۵	۰/۰۶۳	۵	۱	۳
۰/۸۲	۰/۰۰۷۱	۰/۰۸۶	۰/۰۰۷۹	۰/۰۹۰	۰/۰۱۴۹	۰/۰۹۰	۰/۰۹۶	۷	۱	۴
۰/۸۷	۰/۰۰۷۹	۰/۰۹۱	۰/۰۰۰۹	۰/۰۹۰	۰/۰۱۰۲	۰/۰۹۴	۰/۰۰۸۷	۹	۱	۵
۰/۸۳	۰/۰۱۹۲	۰/۰۸۷	۰/۰۰۹۷	۰/۰۹۷	۰/۰۰۹۰	۰/۰۹۰	۰/۰۰۷۸	۱۱	۱	۶
۰/۸۳	۰/۰۰۶۳	۰/۰۱۶	۰/۰۰۹۱	۰/۰۹۰	۰/۰۱۰۷	۰/۰۹۷	۰/۰۰۶۳	۱۳	۱	۷
۰/۸۶	۰/۰۰۸۳	۰/۰۷۴	۰/۰۱۰۸	۰/۰۹۷	۰/۰۱۱۰	۰/۰۹۷	۰/۰۰۶۱	۱۵	۱	۸
۰/۸۴	۰/۰۰۷۸	۰/۰۸۵	۰/۰۰۸۱	۰/۰۹۸	۰/۰۰۲۷	۰/۰۹۷	۰/۰۰۴۳	۱	۲	۹
۰/۸۲	۰/۰۰۷۸	۰/۰۷۲	۰/۱	۰/۰۹۷	۰/۰۰۳۷	۰/۰۹۰	۰/۰۰۴۹	۲	۲	۱۰
۰/۸۷	۰/۰۰۵۶	۰/۰۷۱	۰/۰۰۹	۰/۰۹۰	۰/۰۰۷۲	۰/۰۹۴	۰/۰۰۸۴	۳	۲	۱۱
۰/۸۲	۰/۰۰۸۳	۰/۰۰۰	۰/۰۱۴۰	۰/۰۹۰	۰/۰۱۰۳	۰/۰۹۰	۰/۰۰۷۳	۴	۲	۱۲
۰/۸۵	۰/۰۰۶۶	۰/۰۸۱	۰/۰۰۶۲	۰/۰۹۷	۰/۰۰۳۱	۰/۰۹۴	۰/۰۰۶۶	۵	۲	۱۳
۰/۸۶	۰/۰۰۹۷	۰/۰۸۱	۰/۰۰۶۳	۰/۰۹۸	۰/۰۰۴۴	۰/۰۹۶	۰/۰۰۸۲	۶	۲	۱۴
۰/۸۴	۰/۰۰۸	۰/۰۸۳	۰/۰۰۹۰	۰/۰۹۷	۰/۰۰۷۶	۰/۰۹۷	۰/۰۰۵۳	۷	۲	۱۵
۰/۷۰	۰/۱۰۹	۰/۰۷۸	۰/۰۰۷	۰/۰۹۴	۰/۰۰۰۲	۰/۰۹۴	۰/۰۰۶۴	۸	۲	۱۶
۰/۸۹	۰/۰۰۷۲	۰/۰۸۱	۰/۰۰۷	۰/۰۹۷	۰/۰۰۴۴	۰/۰۹۶	۰/۰۰۷۲	۹	۲	۱۷

براساس R^tها و نیز مقادیر RMSE مربوط در این جداول، عملکرد شبکه در پیش بینی پارامترهای موردنظر ارزیابی می گردد.

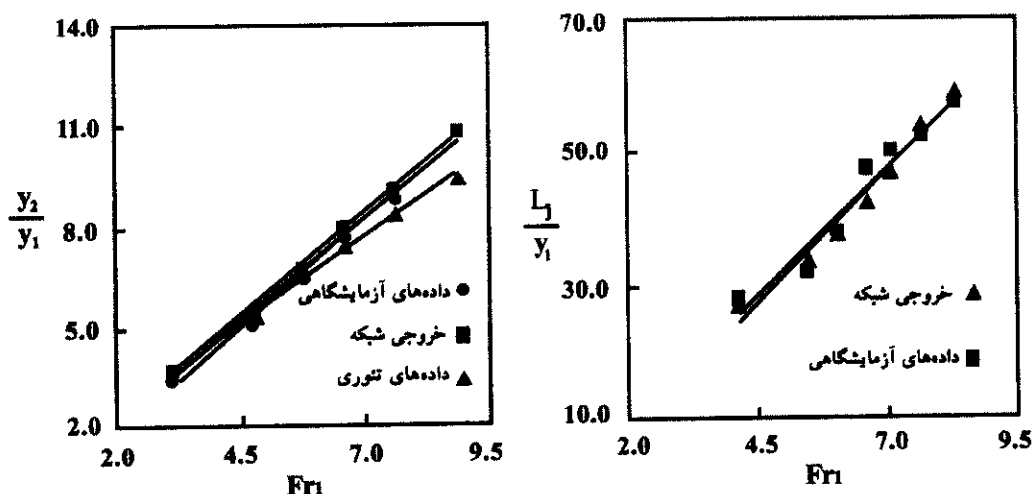


شکل ۵ - ارزیابی عملکرد شبکه برای پیش گویی عمق ثانویه در مقاطع مستطیلی واگرا (نمایه ANN مربوط به خروجی شبکه و نمایه های Th و Exp به ترتیب مربوط به داده های تئوری و آزمایشگاهی می باشد).





شکل ۶- ارزیابی عملکرد شبکه برای پیش گویی طول پرش در مقطع مستطیلی واگرا.



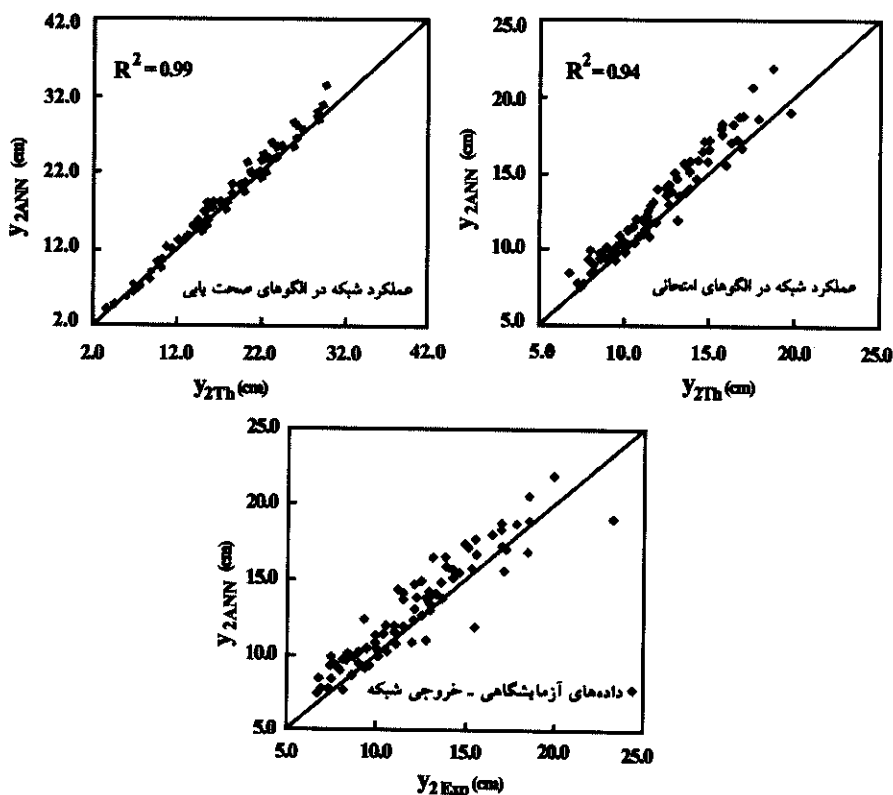
شکل ۷- عملکرد شبکه برای پیش‌بینی نسبت عمق ثانویه و طول پرش واگرا در مقطع مستطیلی با واگرایی ۷ درجه.

وضعیت، به منظور ارزیابی شبکه و صحت‌یابی داده‌های پیشگویی شده که مدل قبلاً با آن مواجه نگردیده است، با استفاده از مجموعه سوم از داده‌های نرمال شده (داده‌های صحت‌یابی)، عملکرد شبکه بررسی گردید. برای مشاهده عملکرد شبکه در این حالت، نمودارهای خروجی شبکه برای مجموعه الگوهای امتحانی و صحت‌یابی در مقابل داده‌های تئوری و آزمایشگاهی مربوطه و نیز نمودارهای تغییرات نسبت عمق ثانویه و طول نسبی پرش برای مقطع واگرا با زاویه واگرایی ۷ درجه، در شکل‌های ۸ تا ۱۰ نشان داده شده است.

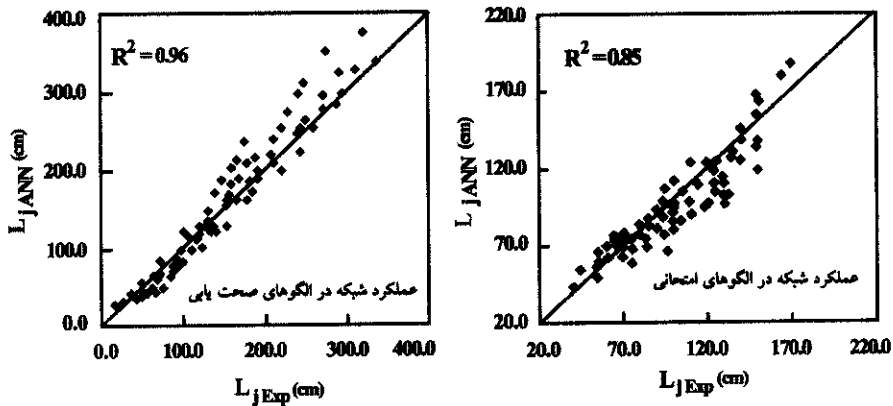
۲۸
ب) عملکرد شبکه برای عمق ثانویه و طول پرش در مقطع ذوزنقه‌ای مستقیم و واگرا: همانگونه که از R^2 های مربوط به عملکرد شبکه در پیش گویی عمق‌های ثانویه پرش هیدرولیکی برای مقطع ذوزنقه‌ای مستقیم و واگرا در جدول ۳ مشاهده می‌گردد، بهترین عملکرد شبکه برای حالت‌های فوق، مربوط به آرایش‌های شماره‌های ۱۷ و ۱۳ می‌باشد. همچنین براساس R^2 های مربوط به طول پرش در این مقاطع، بهترین عملکرد شبکه مربوط به آرایش‌های شماره‌های ۱۷ و ۱۴ است. با انتخاب بهترین آرایش از میان آرایش‌های اعمال شده به شبکه در هر

جدول ۳- عملکرد شبکه در پیشگویی عمق ثانویه و طول پرش در مقاطع ذوزنقه‌ای مستقیم و واگرا.

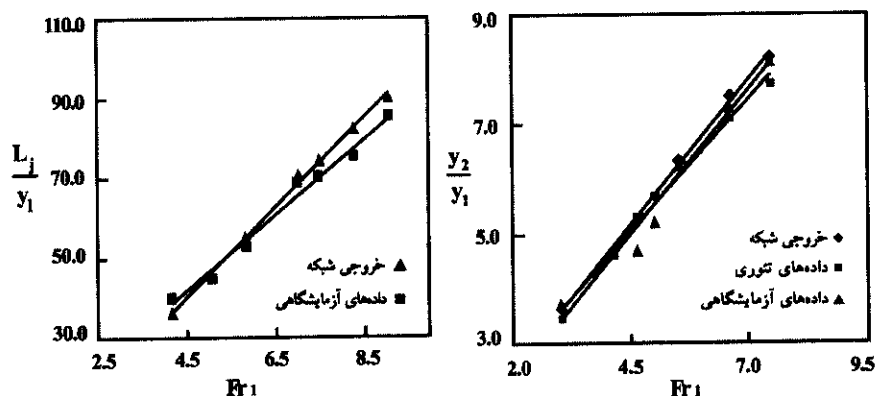
آرایش لایه پنهان شبکه										
قطعه ذوزنقه‌ای مستقیم					قطعه ذوزنقه‌ای واگرا					
شماره	تعداد لایه	تعداد نرون	عمق ثانویه	طول جهش	R ²	RMSE	R ²	RMSE	عمق ثانویه	طول جهش
۱	۱	۱	۰/۱۰۴	۰/۰۳۹	۰/۷۶	۰/۰۵۳	۰/۷۰	۰/۰۳۰	۰/۰۵۳	۰/۰۱۵
۲	۱	۲	۰/۱۲۴	۰/۰۸۳	۰/۷۴	۰/۰۴۱	۰/۷۶	۰/۰۸۶	۰/۰۴۱	۰/۰۷۶
۳	۱	۳	۰/۱۲۳	۰/۰۸۵	۰/۷۳	۰/۰۴۱	۰/۷۶	۰/۰۶۳	۰/۰۳۵	۰/۰۷۶
۴	۱	۴	۰/۱۸۳	۰/۰۹۴	۰/۷۰	۰/۰۷۶	۰/۷۱	۰/۰۴۶	۰/۰۴۷	۰/۰۷۱
۵	۱	۵	۰/۱۳۷	۰/۰۷۲	۰/۷۷	۰/۰۳۹	۰/۷۷	۰/۰۵۳	۰/۰۴۶	۰/۰۷۲
۶	۱	۶	۰/۱۰۴	۰/۰۸۵	۰/۷۵	۰/۰۴۱	۰/۷۸	۰/۰۷۸	۰/۰۵۳	۰/۰۷۱
۷	۱	۷	۰/۱۰۶	۰/۰۸۷	۰/۷۱	۰/۰۴۲	۰/۰۲۷	۰/۰۵۷	۰/۰۴۷	۰/۰۷۹
۸	۱	۸	۰/۱۰۵	۰/۰۹۱	۰/۷۲	۰/۰۳۲	۰/۰۷۲	۰/۰۷۲	۰/۰۷۲	۰/۰۷۴
۹	۲	۹	۰/۱۲۴	۰/۰۸۴	۰/۷۳	۰/۰۵۷	۰/۰۲۷	۰/۰۲۷	۰/۰۳۷	۰/۰۷۲
۱۰	۲	۱۰	۰/۱۱۳	۰/۰۷۳	۰/۷۱	۰/۰۲۸	۰/۰۲۲	۰/۰۵۳	۰/۰۷۱	۰/۰۷۲
۱۱	۲	۱۱	۰/۱۲۷	۰/۰۸۳	۰/۷۸	۰/۰۴۳	۰/۰۳۴	۰/۰۴۸	۰/۰۴۰	۰/۱۴۸
۱۲	۲	۱۲	۰/۰۹۴	۰/۰۸۵	۰/۷۹	۰/۰۳۴	۰/۰۲۹	۰/۰۲۹	۰/۰۲۹	۰/۰۸
۱۳	۲	۱۳	۰/۱۰۸	۰/۰۹۳	۰/۷۶	۰/۰۶۷	۰/۰۲۵	۰/۰۹۴	۰/۰۲۵	۰/۱۰۱
۱۴	۲	۱۴	۰/۲۱۱	۰/۰۸۳	۰/۷۲	۰/۰۳۴	۰/۰۳۹	۰/۰۲	۰/۰۳۹	۰/۰۸۵
۱۵	۲	۱۵	۰/۱۷۰	۰/۰۹۶	۰/۷۳	۰/۰۳۷	۰/۰۰	۰/۰۹۳	۰/۰۷۷	۰/۰۹۳
۱۶	۲	۱۶	۰/۲۰۸	۰/۰۹۳	۰/۷۶	۰/۰۰۳	۰/۰۲۶	۰/۰۹۱	۰/۰۰۲	۰/۰۰۵۲
۱۷	۲	۱۷	۰/۰۸۷	۰/۰۹۹	۰/۰۱۷	۰/۰۴۳	۰/۰۸	۰/۱۴۹	۰/۰۴۳	۰/۰۷۲



شکل ۸- ارزیابی عملکرد شبکه برای پیش‌گویی عمق ثانویه در مقاطع ذوزنقه‌ای واگرا.



شکل ۹- ارزیابی عملکرد شبکه برای پیش‌گویی طول پرش و اگرا در مقطع ذوزنقه‌ای.



شکل ۱۰- عملکرد شبکه برای برآورد نسبت عمق ثانویه و طول پرش و اگرا در مقطع ذوزنقه‌ای با شبیه جانبی ۱:۱.

پنهان می‌باشد که مقادیر نسبت عمق ثانویه را با $R^2=0.97$ و $RMSE=0.043$ و طول نسبی پرش را با $R^2=0.98$ و $RMSE=0.027$ پیشگویی می‌کند.

❖ برای مقاطع مستطیلی و اگرا، مناسب‌ترین مدل ANN برای برآورد نسبت عمق ثانویه و طول پرش، ساختاری با ۱ لایه پنهان (۴-۱-۱) و به ترتیب ۹ و ۳ نرون در هر لایه پنهان می‌باشد که مقادیر نسبت عمق ثانویه را با $R^2=0.91$ و $RMSE=0.059$ و طول نسبی پرش را با $R^2=0.89$ و $RMSE=0.052$ پیشگویی می‌کند.

❖ برای مقاطع ذوزنقه‌ای مستقیم، مناسب‌ترین مدل ANN برای برآورد نسبت عمق ثانویه و طول پرش، ساختاری با ۲ لایه پنهان (۳-۲-۱) و (۴-۲-۱) و ۹ نرون در هر لایه پنهان می‌باشد که مقادیر نسبت عمق ثانویه را با $R^2=0.99$ و $RMSE=0.087$ و طول نسبی پرش را با $R^2=0.9$ و $RMSE=0.017$ پیشگویی می‌کند.

نتیجه‌گیری

در این تحقیق، امکان استفاده از شبکه عصبی مصنوعی (ANN) برای برآورد نسبت عمق ثانویه و طول پرش هیدرولیکی مستقیم و واگرا در مقاطع ذوزنقه‌ای و مستطیلی که از حالتهای خاص و پیچیده پرش هیدرولیکی می‌باشند، مورد بررسی قرار گرفت. رهیافت موردن بررسی در این تحقیق، شبکه عصبی مصنوعی با ساختار پرسپترون چند لایه بود. نتایج حاصل نشان‌دهنده توانایی بالای این سیستم در برآورد مشخصات پرش هیدرولیکی در این مقاطع می‌باشد. با توجه به نتایج حاصل از شبکه برای آرایش‌های مختلف و مقایسه آنها با نتایج تئوری و داده‌های آزمایشگاهی، می‌توان گفت:

برای مقاطع مستطیلی مستقیم، مناسب‌ترین مدل ANN برای برآورد نسبت عمق ثانویه و طول پرش، ساختاری با ۲ لایه پنهان (۲-۲-۱) و (۱-۳-۲) ۱ نرون در هر لایه



پنهان می‌باشد که مقادیر نسبت عمق ثانویه را بـ $R^2 = 0.94$ و $RMSE = 0.025$ و طول نسبی پرش را با $R^2 = 0.85$ و $RMSE = 0.02$ پیشگویی می‌کند.

برای مقاطع ذوزنقه‌ای واگرا، مناسب‌ترین مدل ANN برای برآورد نسبت عمق ثانویه و طول پرش، ساختاری با ۲ لایه پنهان (۱-۵-۲) و به ترتیب ۵ و ۶ نرون در هر لایه

منابع

۱. ابریشمی، ج و م. حسینی. ۱۳۷۷. هیدرولیک کانال‌های باز. انتشارات آستان قدس رضوی. چاپ ششم. ۵۰۱ صفحه.
۲. اسماعیلی ورکی، م. ۱۳۸۲. بررسی خصوصیات جهش هیدرولیکی واگرا در حوضجه آرامش ذوزنقه‌ای. پایان‌نامه کارشناسی ارشد در رشته تاسیسات آبیاری. گروه مهندسی آبیاری و آبادانی، دانشگاه تهران. ۱۲۰ صفحه.
۳. اسماعیلی ورکی، م. امید و م. ح. امید. ۱۳۸۲. برآورد مشخصات پرش هیدرولیکی واگرا در مقاطع مستطیلی و ذوزنقه‌ای با استفاده از شبکه عصبی مصنوعی. مجموعه مقالات چهارمین کنفرانس هیدرولیک ایران، دانشکده مهندسی دانشگاه شیراز، صفحه ۹۸۹-۹۸۱.
۴. اسماعیلی ورکی، م. ح. امید و ص. کوچکزاده. ۱۳۸۲. مطالعه آزمایشگاهی خصوصیات پرش هیدرولیکی واگرا در مقاطع ذوزنقه‌ای. مجموعه مقالات چهارمین کنفرانس هیدرولیک ایران، دانشکده مهندسی دانشگاه شیراز، صفحه ۱۳۰-۱۲۳.
۵. البرزی، م. ۱۳۸۰. آشنایی با شبکه‌های عصبی، انتشارات دانشگاه صنعتی شریف. ۱۳۷ صفحه.
۶. بارانی، غ. ع.، م. ب. رهمنا و ش. شباق. ۱۳۸۱. پیش‌بینی دبی اوج با استفاده از شبکه عصبی مصنوعی (مطالعه موردی رودخانه هلیل). مجموعه مقالات ششمین سمینار مهندسی رودخانه ایران، دانشگاه شهید چمران اهواز. صفحه ۴۸۶-۴۷۹.
۷. منهاج، م. ب. ۱۳۷۷. کاربرد هوش محاسباتی در کنترل. انتشارات دانشگاه صنعتی امیرکبیر، جلد دوم. ۴۶۷ صفحه.
8. Arbhabhirama, A., and Abella, A. 1971. Hydraulic jump within gradually expanding channel, Journal of Hydraulic Division. ASCE, VOL 97, NO. HY1, pp. 31-42.
9. Jain, S.K. 2001. Development of integrated sediment rating curves using Ann's. Journal of Hydraulic Engineering. Vol. 127. No .1 .pp30-36.
10. Khelifa, A.M., and Corquodale, Mc A.M. 1979. Radial hydraulic jump. Journal of Hydraulic Division, ASCE, Vol. 105. NO. HY9, pp. 1065-1078.
11. Kouluseus, H. j., and Ahmad, D. 1961. Circular hydraulic jump. Journal of Hydraulic Division. ASCE. Vol. 95. NO. HY1, pp. 409-422.
12. Howard, D., and Mark, B. 2001. User's guide for neural network toolbox with matlab. Version 6.1.0. pp. 750.
13. Shaya, H., and Sabalani, S. 1998. Artificial neural network for non-iterative calculation of the friction factor in pipe flow. Comp. and Electronics Journal in Agricultural. 219 – 228.



A neural network model to predict characteristics of gradually expanding hydraulic jumps

¹M. Esmaeeli varaki, ²M. Omid and ³M.H. Omid

¹ Ph.D student, Dept. of Irrigation and Reclamation Eng., University of Tehran, ²Assistant Professor, Dept. of Mechanic and Machinery Eng., University of Tehran, ³Assistant Professor, Dept. of Irrigation and Reclamation Eng., University of Tehran.

Abstract

In this research an Artificial Neural Network (ANN), with multilayer perception structure, was adapted to model conjugate depth and gradually expanding jump length, which are especial but complex cases of hydraulic jumps. More than 3000 interpolated and experimental data on conjugate depths and jump lengths for both normal and gradually expanding jumps were used. The data was due to rectangular and trapezoidal sections, for a wide range of divergent angles and side wall slope. In developing the ANN models, seventeen configurations, each having a different number of hidden layers and/or neurons, were investigated. The optimal models were capable of predicting conjugate depth and jump length for a wide range of conditions. In each case, the configuration attained highest R^2 value was selected as the optimal model. For rectangular sections, the simplest ANN model had a 2-2-1 configuration, with one neuron in each of the two hidden layers, and $R^2=0.97$ (for normal x-section), and had a 4-1-1 configuration, with nine neurons in the hidden layer and $R^2=0.91$ (for gradually expanding x-section), respectively. The best ANN model for predicting respective jump lengths had 3-2-1 and 4-1-1 configurations with one and three neuron(s) in hidden layer(s), and $R^2=0.99$ and 0.94, respectively. For trapezoidal sections, the simplest ANN model had a 4-2-1 configuration, with nine neurons in each of the hidden layers and $R^2=0.99$ (for normal x-section), and had a 5-2-1 configuration, with six neurons in each of the two hidden layers and $R^2=0.94$ (for gradually expanding x-section), respectively. The best ANN model for respective jump lengths had 4-2-1 and 5-2-1 configurations, with nine and six neurons in each of the two hidden layers, and $R^2=0.90$ and 0.85, respectively. The high values obtained for R^2 in all of the eight cases, suggest a close agreement between the ANN's output variable and the experimental data. The developed ANN models in this paper are, therefore, suitable for predicting gradually expanding hydraulic jump characteristics, which require a large amount of repetitive computations, for both rectangular and trapezoidal sections often encountered in the design of stilling basins.

Keywords: Hydraulic jump; stilling basin; Artificial neural network; Multilayer Perception

